

محیط رسوی و چینه‌نگاری سازند پابده در منطقه شیراز

رضا میرزاپور محمودآبادی^{۱*}، یعقوب لاسمی^۲ و مسح افجه^۳

^۱ دانشگاه آزاد اسلامی واحد علوم و تحقیقات، تهران، ایران.

^۲ دانشگاه تربیت معلم تهران، تهران، ایران.

^۳ دانشگاه آزاد اسلامی واحد شیراز، شیراز، ایران.

تاریخ دریافت: ۱۳۸۷/۰۷/۲۲ تاریخ پذیرش: ۱۳۸۷/۰۹/۲۰

چکیده

سازند شیلی پابده به سن پالتوسون - الیگومیوسن در فارس، خوزستان و لرستان گسترش دارد. مرز زیرین سنگ‌چینه‌ای این سازند در منطقه شیراز توسط بخش شیل ارغوانی از سازند گوری مشخص می‌شود. مرز بالایی آن با سازند آسماری تدریجی و همساز است. به متظور مطالعه محیط رسوی و چینه‌نگاری سکانسی سازند پابده در منطقه شیراز، تعداد ۲ برش چینه‌نگاری (زنگیران و شاهنشین) انتخاب و بررسی شد. مطالعات سنگ‌شناسی به شناسایی ۹ رخساره میکروسکوبی پلاژیک و آهک‌های دوباره نهشته شده انجامید. آهک‌های دوباره نهشته شده در زمان بالا بودن سطح آب دریا و نزد بالای تولید کریبات و ریزش آن به بخش ژرف دریا شکل گرفتند. مطالعات چینه‌نگاری سکانسی نشان می‌دهد که سازند پابده در منطقه مورد مطالعه از دو سکانس رسوی تشکیل شده است. در برش زنگیران مرز زیرین و بالایی سکانس ۱ از نوع دوم و مرز بالایی سکانس رسوی ۲ از نوع پیوستگی هم ارز با نایپوستگی است. در برش شاهنشین مرز زیرین از نوع دوم و مرز بالایی از نوع پیوسته هم ارز با نایپوستگی است.

کلیدواژه‌ها: سازند پابده، شیراز، بخش شیل ارغوانی، برش شاهنشین، سکانس رسوی

*نویسنده مسئول: رضا میرزاپور محمودآبادی

۱- مقدمه

از تعداد ۷۰۰ نمونه برداشت شده از ۲ برش مورد مطالعه (نمونه دستی و پلاک‌های تهیه شده) نمونه‌های مشابه حذف شد. نمونه برداری عمود بر جهت لایه‌بندی بر مبنای تغیرات میکروفاصلی و ماکروفاصلی (جنس، لایه‌بندی، تغیرات ستبر)، اندازه دانه‌ها، رنگ و ...) و به طور کلی بافت انجام گرفت. جهت بالا و پایین نمونه‌ها و تمامی ساختمان‌های رسوی در صورت مشاهده ثبت شده است. پس از نمونه‌برداری تعداد ۵۵۰ مقطع نازک تهیه شد و برای بررسی ویژگی‌های سنگ‌نگاری مقاطع مورد مطالعه از میکروسکوب پانور معمولی و پلاریزه استفاده شد. در مورد نمونه‌های کریباتی پس از تعیین نوع و درصد عناصر آلومینیوم و ارتوکم نمونه‌های نام‌گذاری و تشخیص دقیق محیط رسویگذاری مورد بررسی قرار گرفت. در نام‌گذاری رخساره‌های میکروسکوبی کریباتی از روشن (Dunham 1962) و درست‌بندی رخساره‌ها و ارائه مدل رسوی از روشن (Carrozi 1989) و Flugel (2004) استفاده شده است.

۲- موقعیت جغرافیایی منطقه مورد مطالعه

در شکل ۱ موقعیت جغرافیایی گستره مورد پژوهش مشخص شده است. سنگ‌شناسی برش‌های مورد مطالعه به ترتیب زیر است.

۲-۱. برش زنگیران

این برش در ۶۵ کیلومتری جنوب خاوری شیراز در مسیر جاده شیراز - کوار در کوه سفیدار واقع شده است. مختصات قاعده برش $52^{\circ}5'52''$ طول خاوری و $40^{\circ}4'29''$ درجه شمالی است. روند لایه‌ها شمال باختی - جنوب خاوری و امتداد لایه‌ها N۱۰۰W است. برش زنگیران با ستبرای ۴۲۰ متر شامل لایه‌های شیل و مارن زرد و آبی رنگ، آهک‌های نازک تا متوسط لایه نومولیت‌دار و شیل‌های آهکی تشکیل شده است، یافت می‌شود. مرز زیرین سازند پابده در برش زنگیران با سازند گوری فرسایشی و مرز بالایی آن با سازند آسماری تدریجی است (شکل ۲D).

۲-۲. برش شاهنشین

این برش در ۸۰ کیلومتری جنوب باختی شیراز در مسیر جاده شیراز - کازرون در

سازند پابده به عنوان یکی از سنگ‌های منشأ نفت در زاگرس، از دیر باز مورد توجه بسیاری از زمین‌شناسان قرار گرفته است. این سازند با ستبرای بیش از ۷۹۸ متر در برش الگو از شیل و سنگ‌آهک‌های نازک لایه رسی تشکیل شده است. مرز زیرین آن توسط بخش شیل ارغوانی از سازند گوری مشخص شده و مرز بالایی آن با سازند آسماری تدریجی و همساز است. سازند پابده در فارس، خوزستان و لرستان گسترش دارد (مطیعی، ۱۳۷۷). از آنجا که مطالعه دقیق چینه‌نگاری سکانسی سازند پابده در منطقه شیراز تا کنون به طور تفصیلی مطالعه نشده است، لذا هدف از انجام این تحقیق بررسی سنگ‌نگاری و صحرایی در منطقه مورد مطالعه برای شناسایی سکانس‌های رسوی و تغیرات نسبی سطح آب دریاست. مهم‌ترین اهداف این مطالعه شامل بررسی و شناسایی رخساره‌های میکروسکوبی و تغیرات آنها در جهت عمودی وافقی، شناسایی محیط‌های رسوی زمان تشکیل سازند مورد مطالعه، استفاده از قانون والتر و مقایسه با محیط‌های رسوی قدیمی و امروزی، شناسایی چرخه‌های رسوی و الگوی روی هم ابانتگی آنها برای تشخیص دسته رخساره‌ها (Systems tract) مرزها (Sequence boundary) و سکانس‌های رسوی (Depositional sequence) و تعیین هم‌ارزی چینه‌شناختی با استفاده از ستون‌های چینه‌نگاری. بین متظور از متابیع نظری (Wilson 1975), Purser (1973), Tucker & Wright (1990), Vail et al. (1988), Lasemi & Carrozi (1981) Lasemi (1995), Emry & Myers (1996), Mial (2000) Nadjafi et al. (2004), Van Buchem et al. (2002), Van Wagoner et al. (1988) Mahboobi et al. (2001), Mohseni & Al-Asam (2004) ااستفاده شده است.

۳- روش مطالعه

روش مطالعه شامل مطالعات صحرایی و آزمایشگاهی است. پس از مطالعه عکس‌های هوایی منطقه مورد مطالعه و بازدیدهای صحرایی متعدد از رخنمون‌های سازند پابده تعداد ۲ برش چینه‌نگاری برای انجام مطالعات در نظر گرفته شد. به طوری که کامل ترین برش‌ها از لحاظ داشتن مرز زیرین و بالایی مشخص، بیشترین ستبر، کمترین گسل خوردنگی و پوشش گیاهی انتخاب شد.

مشاهده می‌شود. در صد بیوکلاست‌ها بین ۳۰ تا ۵۰ درصد در نوسان است. اندازه دانه‌های اسکلتی جنس نومولیتیس تا ۱/۵ میلی متر نیز می‌رسد. در بعضی نمونه‌های مشابه درصدی از رخساره بین ۱۰ تا ۲۵ درصد دولومیتی شده است. همچنین حدود ۵ تا ۱۰ درصد فسیل‌های پلاتنکتون نظیر گلوبیزرین و گلوبوروتالیا نیز در نمونه دیده می‌شود. رخساره B1 به صورت آهک توریدایتی در بخش ژرف دریا نهشته شده و به صورت بین لایه‌ای با آهک‌های پلازیک و شیل‌های دیده می‌شود. رخساره B1 در روی زمین به صورت سنگ آهک متوسط تا سبتر لایه به رنگ خاکستری روش رخمنون دارد. مرز زیرین آهک‌های توریدایتی با شیل‌ها به صورت ناگهانی است (شکل ۴F).

B2- پکستون بیوکلاستی نومولیت، دیسکو-سیکلین و گلوبیزرین

(*Globigerina discosyclina & nummulites packestone*): در این رخساره ترزدیک

به درصد آلوکم اسکلتی از خانواده نومولیتیده، دیسکو-سیکلینیده، آلوتو-لینیده (بین

۳۰ تا ۶۰٪) به همراه خانواده گلوبیزرینیده (۱۰ تا ۱۵٪) در یک زمینه میکریتی یافت

می‌شود. اندازه دانه‌های اسکلتی بینیک بین نیم تا ۲ میلی متر متغیر بوده و آینه‌گی با

میکروفسیل‌های پلاتنکتونیک از ویزگی‌های باز این رخساره به شمار می‌آید. رخساره B2

در روی زمین به صورت سنگ آهک متوسط تا سبتر لایه با مرز زیرین ناگهانی در تناوب با شیل به رنگ خاکستری روش رخمنون دیده می‌شود (شکل‌های ۴A و ۴B).

B3- گرینستون بیوکلاستی جلیک قرمذدار (Red algae bioclast grainstone)

در این رخساره حدود ۳۵ درصد آلوکم اسکلتی از نوع جلیک قرمز و خانواده

میلولیده با اندازه متوسط نیم میلی متر در یک زمینه اسپاریتی دیده می‌شود. در

رخساره مورد نظر حدود ۱۰ درصد اینتراکلست نیز دیده می‌شود. این رخساره در

روی زمین به صورت سنگ آهک متوسط تا سبتر لایه گسترش دارد (شکل ۵A).

B4- پکستون بیوکلاستی اینتراکلست دار (Intraclastic bioclast packstone)

در این رخساره بیش از ۵۰ درصد حجم کل نمونه از آلوکم‌های مانند خانواده نومولیتیده

و میلولیده و درصدی فسیل پلاتنکتونیک تشکیل شده که به همراه آن بین ۱۵ تا ۲۰

درصد اینتراکلست در اندازه بیش از ۱ میلی متر و کمی پلت یافت می‌شود. اینتراکلست‌ها

با گردشده‌گی بالا حاوی خرده‌های فسیلی هستند. رخساره B4 در روی زمین به

صورت سنگ آهک کالکارنیت متوسط لایه تا سبتر لایه رخمنون دارد (شکل ۴D).

B5- وکستون بیوکلاستی اینتراکلست و پلت دار (Intraclastic peloidal wackestone)

در این رخساره حدود ۳۰ درصد پلت، ۱۵ درصد

اینтраکلست و حدود ۲۵ درصد آلوکم اسکلتی از خانواده میلولیده و خرده‌های

صف پلاتنکتونیک در زمینه‌ای میکریتی مشابه می‌شود. در برخی نمونه‌های مشابه

اینتراکلست‌های گردشده با قطر حدود ۱ میلی متر حاوی خرده‌های فسیلی دیده

می‌شود. این رخساره در روی زمین به صورت سنگ آهک متوسط تا سبتر لایه در تناوب با رخساره‌های پلاتزیک سازند پابده به خصوص در برش زنجیران دیده

می‌شود (شکل‌های ۴C و ۴E).

۳-۴. تفسیر و ارائه مدل رسوی سازنده پابده

بررسی صحراوی و سنگ‌نگاری سازند پابده در منطقه مورد مطالعه (برش زنجیران،

شاه نشین) نشان می‌دهد که محیط رسوی آن مربوط به محیط دریایی ژرف بوده

و رخساره‌های آن شامل گروه رخساره شیل، آهک پلاتزیک و آهک توریدایتی (دوباره نهشته شده) است. حضور بیوکلاست‌های پلاتنکتون وابسته به دریایی ژرف

نظیر خانواده گلوبیزرینیده و گلوبوروتالیده و میکریت فراوان نشانگر رسوبگذاری

این گروه در محیط دریایی ژرف است (برای مثال: Wilson, 1975; Lasemi, 1995).

(Bernaus et al., 2002). وجود کانی گلوكوئیت در رخساره A1 تا A4 (به صورت

جانشینی و درون حجرات روزن‌داران) نیز شاهدی بر رسوبگذاری این دسته رخساره

در محیط ژرف دریایی باز است (Flugel, 2004).

منطقه دشت ارزن واقع شده است. مختصات قاعده برش "۳۳° ۲۹' ۰۵" طول است. برش شاهنشین با سمترا ۳۶۰ متر از شیل و مارن به رنگ آبی تیره، ارغوانی، سبز و خاکستری نازک تا متوسط لایه و شیل آهکی متصلایه تشکیل شده است. در این برش مرز پایینی سازند پابده با سازند گوربی از لحظه سنگ‌چینه‌ای توسعه بخش شیل ارغوانی مشخص می‌شود. مرز بالایی آن با سازند آسماری تدریجی و همشیب است (شکل‌های ۲A، ۲B، ۲C، ۲E و ۲F).

E: شیل‌های خاکستری و آبی تیره مربوط به محیط ژرف. سازند پابده - برش شاهنشین دید به سمت جنوب.

F: بخش شیل ارغوانی جدا کننده سازند پابده از گوربی - برش شاهنشین دید به سمت جنوب باخته.

۴- تشریح رخساره‌های میکروسکوبی سازند پابده

پس از مطالعه دقیق نمونه‌های میکروسکوبی و صحراوی مشخص شد که رخساره‌های شناسایی شده در سازند پابده همگی مربوط به بخش ژرف دریا هستند. این رخساره‌ها به دو دسته رخساره‌های پلاتزیک و آهک‌های دوباره نهشته شده قابل تفکیک هستند. آهک‌های دوباره نهشته شده به صورت بین لایه‌ای با رخساره‌های پلاتزیک در روی زمین دیده می‌شوند.

۴-۱. رخساره‌های میکروسکوبی پلاتزیک سازند پابده

A1- گلستنگ / شیل تیره (Mudstone / Gray shale): این رخساره به طور کامل از گل آهکی تشکیل شده است و از تناوب گلستنگ آهکی و شیل خاکستری تیره ساخته شده است. آشفتگی زیستی از ویزگی‌های دیگر این رخساره می‌باشد. رخساره گلستنگ / شیل تیره در روی زمین در تناوب با رخساره شیل آهکی به صورت نازک لایه و ترد و شکننده دیده می‌شود (شکل ۳B و ۳E).

۴-۲- مادستون بیوکلاستی گلوبیزرین و گلوبوروتالیدار

(*Globorotalia globigerina bioclast mudstone*): در این رخساره کمتر از ۱۰ درصد آلوکم اسکلتی از خانواده گلوبیزرینیده و گلوبوروتالیده در یک زمینه میکریتی شناور است. این رخساره در محیط کم ارزی دریایی دوباره نهشته شده و در روی زمین به صورت شیل خاکستری تا تیره نازک تا متوسط لایه دیده می‌شود (شکل ۳A).

۴-۳- وکستون بیوکلاستی گلوبیزرین و گلوبوروتالیدار

(*Globotalia globigerina bioclast wackestone*): در این رخساره حدود ۳۵ درصد بیوکلاست از خانواده گلوبیزرینیده و گلوبوروتالیده دیده می‌شود. خمیره این رخساره از جنس میکریت تیره بوده و در بعضی از رخساره‌های مشابه درصد کمی پلت (۵٪) نیز یافت می‌شود. لامیناسیون ظریف مورب از ویزگی‌های دیگر رخساره موردنظر است. در رخساره A3 درصدی کانی گلوكوئیت به صورت جانشینی درون حجرات روزن‌داران دیده می‌شود. این رخساره در روی زمین به صورت آهک پلاتزیک نازک تا متوسط لایه به رنگ خاکستری رخمنون دارد (شکل‌های ۳C، ۳B و ۳D).

۴-۴- پکستون بیوکلاستی گلوبیزرین دار حاوی گلوكوئیت

(*Gloconit globigerina bioclast packstone*): در این رخساره بالغ بر ۵۰ درصد حجم کل نمونه از بیوکلاست‌های مانند گلوبیزرین و گلوبوروتالیدار یک زمینه میکریتی تشکیل شده است. رخساره باد شده حاوی ۱۰ تا ۱۵ درصد کانی گلوكوئیت است که از نوع جانشینی و درون حجرات میکریت فیل‌های پلاتنکتونیک دیده می‌شود. رخساره A4 روزن‌داران نیز به صورت شیل آهکی نازک تا متوسط لایه دیده می‌شود (شکل‌های ۳E، ۳D و ۳B).

۴-۵- رخساره‌های آهکی دوباره نهشته شده

(*Calciturbidite facies*): در این رخساره بیوکلاستی هایی نظیر نومولیت و میلولید در یک زمینه میکریتی

تناوب شیل آهکی و آهک‌های دوباره نهشته شده متوسط تا ستبرلایه رخنمون دارد. این دسته رخساره توسط مرز پیوسته هم ارز با ناپیوستگی در زیر سازند آسماری خاتمه می‌یابد (شکل‌های ۷، ۸ و ۱۳).

تشخیص دو توالی رسوی سازند پابده در برش زنجیران می‌تواند ناشی از عملکرد گسل‌ها به طور همزمان با رسوبگذاری و زمین‌ساخت فعال حوضه رسوی زاگرس باشد (Sepehr & Cosgrove, 2004; Alavi, 2004). عملکرد گسل‌های همزمان با رسوبگذاری باعث ایجاد ریخت‌شناسی متفاوت در پلاتفرم کربناته و تغییر در نحوه و نوع رسوبگذاری می‌شود. نتیجه نهایی این فرایند می‌تواند سبب ایجاد توالی‌های متفاوت در سازند پابده شود.

بررسی تغییرات عمودی رخساره‌های سازند پابده در برش شاهنشین منجر به شناسایی ۱ توالی رسوی از نوع چرخه دسته سوم شد (شکل‌های ۹ و ۱۰).

ستبرای توالی رسوی سازند پابده در برش شاهنشین ۳۲۰ متر بوده و دسته رخساره‌های TST این توالی بر روی بخش شیل ارغوانی با تناوب گلسنگ، مادستون و وکستون بیوکلاستی گلوبیژرین دار شروع شده و آخرین حد پیشروی آب دریا با رخساره شیل پلازیک تیره مشخص می‌شود. این دسته رخساره در روی زمین به صورت تناوب شیل و شیل آهکی نازک لایه به شدت ترد و شکننده به رنگ‌های خاکستری، خاکستری تیره، آبی و زرد دیده می‌شود (شکل‌های ۱۱ و ۱۲).

دسته رخساره‌های HST بیشتر از وکستون بیوکلاستی گلوبیژرین دار، پکستون بیوکلاستی گلوبیژرین دار، وکستون بیوکلاستی حاوی فسیل بنتونیک و پلاتنکتونیک و گرینستون بیوکلاستی جلبک‌دار (آهک‌های دوباره نهشته شده) تشکیل شده است. این رخساره‌ها در روی زمین به صورت شیل آهکی و آهک پلازیک به رنگ خاکستری، زرد روشن و آبی کمرنگ با لایه‌بندی نازک تا ستبر لایه رخنمون داشته و در انتهای توسط مرز پیوسته هم ارز (C.C=Correlative Conformity) به سازند آسماری ختم می‌شوند (c.c هم ارز با ناپیوستگی فرسایشی بین سازند جهرم و آسماری در بخش کم ژرفای پلاتفرم کربناتی سازند جهرم است). (شکل ۱۴).

مرز ناپیوسته بین سازندهای جهرم و آسماری در بخش کم ژرفای پلاتفرم کربناتی سازند جهرم توسط کنگلومرازی آهن دار در برش الگوی سازند جهرم مشخص می‌شود (مطیعی، ۱۳۷۲). به شکل ۶-ب توجه شود.

وجود بیوکلاسته‌های بنتونیک و مخلوط بودن رخساره‌های محیط ژرف و رخساره پلاتفرمی نشان دهنده نرخ بالای رسوبگذاری و ایجاد جریان‌های توریدایتی و ریش کربنات از بخش حاشیه پلاتفرم با شبیه تند و نهشته شدن آن در بخش ژرف دریاست (ласمی و کاوسی، ۱۳۸۲؛ Lasemi, 1995؛ Schalger et al., 1994). به شکل ۶-ب توجه شود.

(Highstand shedding)

۶- نتیجه‌گیری

از مطالعات صحرایی و آزمایشگاهی بر روی سازند پابده در منطقه مورد مطالعه نتایج زیر حاصل گردیده است:

- رخساره‌های شناخته شده در سازند پابده تنها مربوط به بخش ژرف دریا بوده و شامل شیل، مادستون بیوکلاستی گلوبیژرین دار، وکستون بیوکلاستی گلوبیژرین دار، پکستون بیوکلاستی گلوبیژرین دار حاوی گلوکونیت و رخساره‌های آهک دوباره نهشته شده است. رخساره‌های آهک دوباره نهشته شده در زمان بالا بودن سطح آب دریا، هنگامی که نرخ تولید کربنات بالا بوده است، تشکیل شده‌اند. رخساره‌های آهک دوباره نهشته شده شامل وکستون بیوکلاستی نومولیت و میلیولیدار، وکستون بیوکلاستی گلوبیژرین و نومولیت‌دار، پکستون بیوکلاستی نومولیت، دیسکوسیکلین و گلوبیژرین دار، گرینستون بیوکلاستی جلبکی و وکستون بیوکلاستی اینتراکلس و

وجود بیوکلاسته‌های بنتونیک مانند خاتواده میلیولیده، نومولیتیده در رخساره‌های آهکی دوباره نهشته شده (رخساره‌های شماره B1 تا B5) نشانگر رسوبگذاری در محیط پلاتفرمی است. بین لایه‌ای بودن رخساره‌های توریدایتی و رخساره‌های پلازیک و مخلوط بودن دانه‌های پلاتنکتونیک و بنتونیک در آهک‌های دوباره نهشته شده نشان دهنده نرخ بالای رسوبگذاری و ایجاد جریان‌های توریدایتی (Tempestite Deposits) و ریش کربنات از بخش حاشیه پلاتفرم با شبیه تند و نهشته شدن آن در بخش ژرف دریاست (Mohseni and Al-Asam, 2004).

رخساره‌های ژرف سازند پابده با رخساره‌های ژرف سازندهای مزدوران و چمن بید (Lasemi, 1995) و Askari & Lasemi, 1997)؛ سازند مبارک (الاسمی و مصدق، ۱۳۷۸)، سازند سروک (الاسمی و کاوسی، ۱۳۸۴) و رخساره‌های دور از پلاتفرم باهاماس (Boardman & Neuman, 1984؛ Eberli, 1991) است. رخساره‌های ذکر شده در حوضه ژرف و در مجاورت پلاتفرم کربناتی سازند جهرم نهشته شده‌اند. (شکل ۶-الف و ب).

۵- چینه‌نگاری سکانسی سازند پابده

مطالعه تغییرات عمودی رخساره‌های سازند پابده در برش زنجیران به شناسایی ۲ سکانس رسوی (چرخه دسته سوم) انجامیده است. ستبرای توالی رسوی اول (DS1) سازند پابده ۹۵ متر بوده و مرز زیرین آن همانند برش شاهنشین توسط مرز نوع دوم در بخش زیرین شیل ارغوانی (SB2) مشخص می‌شود.

دسته رخساره‌های TST سکانس رسوی اول به ستبرای ۳۵ متر از مادستون / گلسنگ و وکستون بیوکلاستی گلوبیژرین و گلوبرو-تالیدار تشکیل شده است. آخرین حد پیشروی آب دریا (MFS) با رخساره شیل تیره نازک (Maximum Flooding Surface) از بخش زیرین شیل ارغوانی (SB2) مشخص می‌شود.

در حالت سکون نسبی سطح آب دریا دسته رخساره‌های HST به ستبرای ۶۰ متر شامل تناوب رخساره پلازیک و آهک‌های دوباره نهشته شده نومولیت‌دار است. رخساره‌های مشاهده شده در این بخش شامل وکستون بیوکلاستی گلوبیژرین دار، پکستون بیوکلاستی نومولیت و آلوئلین دار، وکستون بیوکلاستی نومولیت و گلوبیژرین دار، پکستون بیوکلاستی نومولیت، دیسکوسیکلین و گلوبیژرین دار، گرینستون بیوکلاستی جلبک‌دار، پکستون بیوکلاستی اینتراکلس دار و وکستون بیوکلاستی اینتراکلس و پلت دار بوده که به صورت چرخه‌های به طرف بالا کم ژرف‌شونده بر روی یکدیگر انباشته شده‌اند.

ستبرای توالی رسوی دوم ۲۹۵ متر بوده و مرز زیرین آن از نوع ۲ (SB2) و مرز بالای آن از نوع پیوستگی هم ارز با ناپیوستگی (Correlative Conformity) در زیر سازند آسماری خاتمه می‌یابد. سطح پیشروی با رخساره شیل شروع شده و آخرین حد پیشروی آب دریا (MFS) با رخساره پکستون بیوکلاستی حاوی گلوکونیت از نوع جانشینی درون حجرات روزن داران مشخص می‌شود.

دسته رخساره TST به ستبرای ۸۵ متر از شیل، مادستون بیوکلاستی گلوبیژرین دار، وکستون بیوکلاستی گلوبیژرین دار و پکستون بیوکلاستی گلوبیژرین دار تشکیل شده است. این دسته رخساره در روی زمین به صورت تناوب شیل و شیل آهکی رخنمون دارد. دسته رخساره HST توالی رسوی دوم (DS2) به ستبرای ۲۱۰ متر از تناوب شیل آهکی و آهک‌های دوباره نهشته شده تشکیل شده است. رخساره‌های میکروسکوپی این دسته رخساره شامل شیل، وکستون بیوکلاستی گلوبیژرین دار، وکستون بیوکلاستی نومولیت و میلیولیدار، وکستون بیوکلاستی پلت و اینتراکلس دار و پکستون بیوکلاستی نومولیت و دیسکوسیکلین دار بوده و در روی زمین به صورت

و ایترائلست) در محیط پلاتفرمی بوده که به علت ریزش در بخش ژرف دریا (رسخاره توربیدیتی) به صورت بین لایه‌ای با رسوبات پلازیک دیده شده و محیط رسوب‌گذاری تأثیره آنها محیط ژرف دریاست.

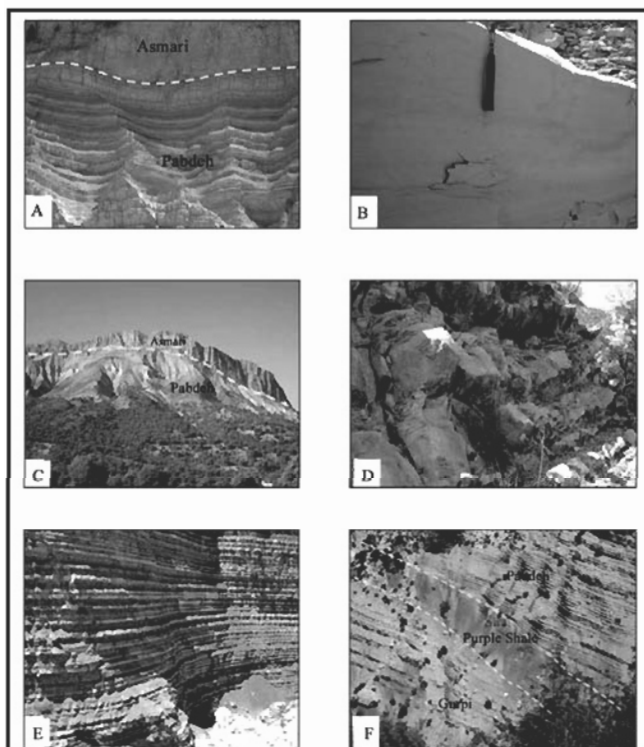
- مرز نایپوسته (SB1) بین سازندهای جهرم و آسماری در بخش کم ژرفای پلاتفرم کریناتی سازند جهرم در بخش ژرف حوضه بین سازندهای پاپده و آسماری به صورت مرز پیوسته هم ارز با نایپوستگی مشخص می‌شود (C.C: Correlative Conformity).

- توالی‌های رسوی شناخته شده در سازند پاپده (برش زنجیران) می‌تواند تاثی از عملکرد گسل‌ها به طور همزمان با رسوب‌گذاری زمین ساخت فعال حوضه رسوی زاگرس باشد.

- عملکرد گسل‌ها هم‌زمان با رسوب‌گذاری باعث ایجاد ریخت‌شناسی متفاوت در حوضه رسوی و سرانجام ایجاد توالی‌های متفاوت در سازند پاپده شده است.

سیاسکنگزاری

بدین وسیله تویستنگان مراتب تشکر و قدردانی خود را از مدیریت گروه زمین‌شناسی دانشگاه آزاد اسلامی واحد حلوم و تحقیقات تهران چنان آقای دکتر خسرو خسرو تهرانی اعلام می‌دارند. همچنین از همکاری آقایان مهدی هوشیار، ابراهیم چمیشیزاده و محسن افتخاری در بازدیدهای صحراوی صمیمانه تشکر و قدردانی می‌شود.



شکل ۲- (A) مرز بالایی سازند پاپده با سازند آهکی آسماری - برش شاهنشین دید به سمت جنوب باخته، (B) شیل‌های آهکی خاکستری تیره با لایماتیون طریف مسطع و مورب، به سمت بالایی سازند پاپده، برش شاهنشین، (C) موقعیت چینه‌شناسی سازند پاپده - برش شاهنشین دید به سمت جنوب، (D) تناوب شیل آهکی و آهک‌های دواره نهشته شده در سازند پاپده - برش زنجیران دید به سمت باخته، (E) شیل‌های خاکستری و آبی تیره مربوط به محیط ژرف، سازند پاپده - برش شاهنشین دید به سمت جنوب، (F) بخش شیل ارغوانی جدا گشته سازند پاپده از گوری - برش شاهنشین دید به سمت جنوب باخته.

پلتدار حاوی خردۀای فسیل پلاتکتون هستند.

- سازند پاپده در برش شاهنشین از ۱ تولی رسوی و در برش زنجیران از ۲ تولی رسوی تشکیل شده است.

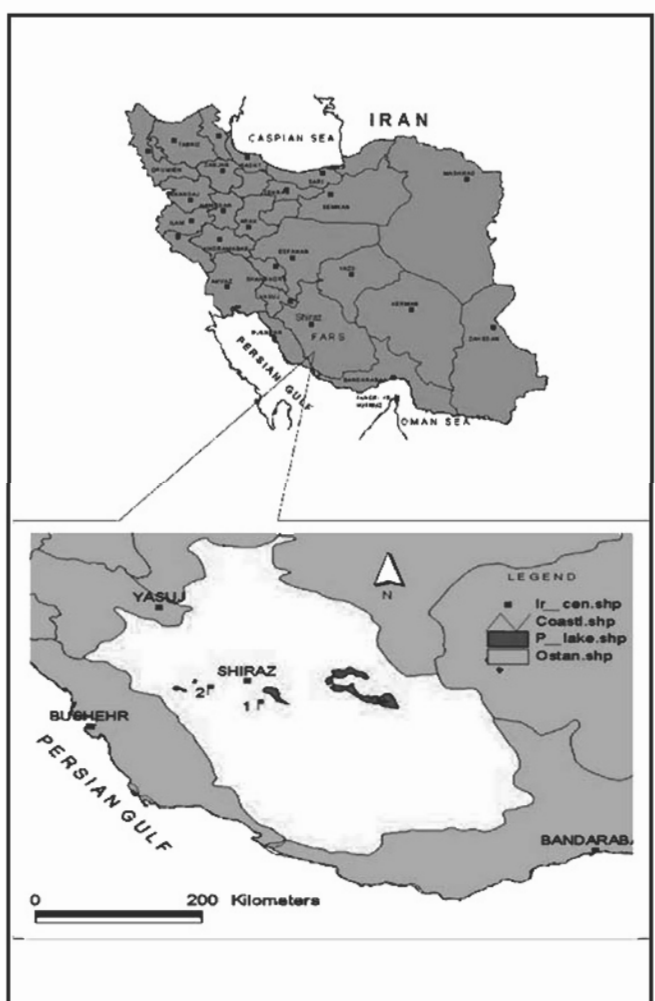
- مرز زیرین تولی رسوی سازند پاپده (برش شاهنشین و زنجیران) با سازند گوری از نوع دوم (SB2) است و بر روی آن بخش شیل ارغوانی هم ارز با سازند ساقچون قرار دارد. مرز بالایی این تولی از نوع پیوستگی هم ارز با نایپوستگی است.

- سازند پاپده در برش کوه شاهنشین و زنجیران تنها از دسته رخساره HST و TST تشکیل شده که این دسته رخساره‌ها خود از پاراتولی‌های به طرف بالا کم ژرف‌شونه تشکیل شده‌اند. دسته رخساره TST بیشتر از تناوب گلسنگ و شیل آهکی نازک لایه و دسته رخساره HST از شیل آهکی، شیل و آهک‌های دواره نهشته شده تشکیل شده‌اند.

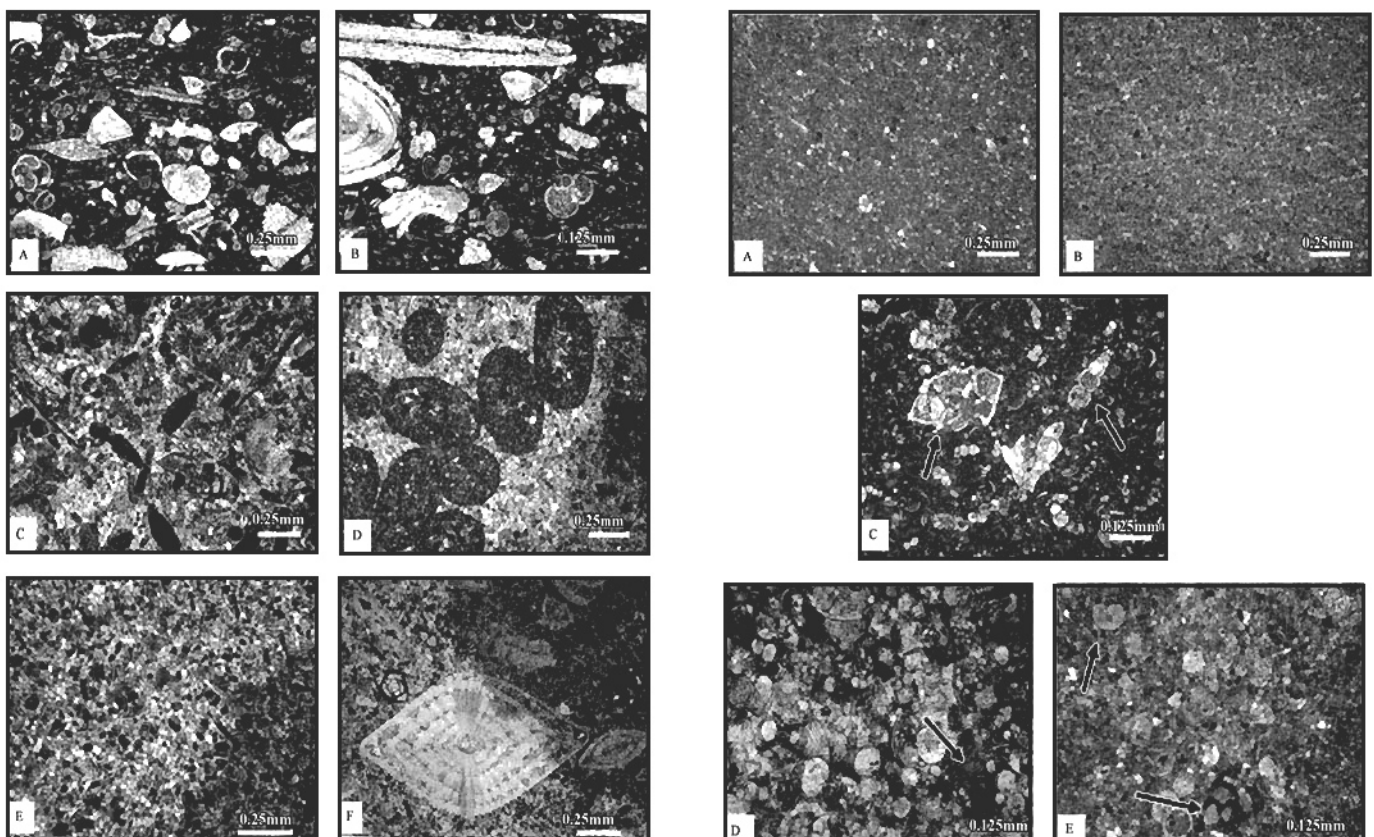
- بررسی رخساره‌های سازند پاپده که سازند پاپده در بخش ژرف حوضه در مجاورت پلاتفرم کریناتی جهرم نهشته شده‌اند.

- به علت فاصله بین دو برش مورد مطالعه (حدود ۹۰ کیلومتر) تغییرات جانی رخساره‌های در دو برش تاحدی دیده می‌شود. به عنوان مثال آهک‌های دواره نهشته شده از لحاظ موقعیت در طول سرزم چینه‌گاری، ستبر و نوع رخساره میکرو‌سکوبی تفاوت نشان می‌دهد.

- محیط اولیه رسوب‌گذاری آن دسته از رخساره‌های میکرو‌سکوبی کریناتی بدون میکروفسیل‌های پلاتکتونیک (حاوی عناصر آلکومی همچون نومولیت، پلت

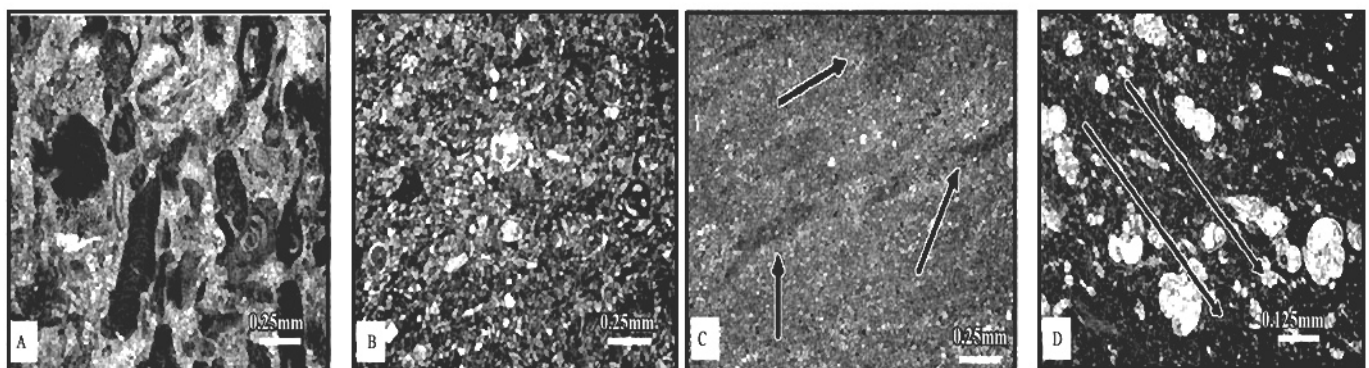


شکل ۱- موقعیت جغرافیایی برش‌های مورد مطالعه در منطقه قارمن ۱- برش زنجیران
۲- برش شاهنشین

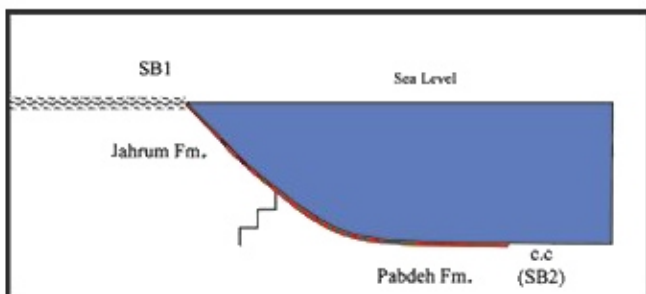


شکل ۴- رخساره‌های میکروسکوپی سازند پاچه (آهک‌های دوباره نهشته شده). A و B پکستون بیوکلاستی نومولیت، دیسکوسیکلین و گلوبیزیرین دار (رخساره توریدیتی). آمیخته بودن میکروفیل‌های پلانکتونیک و بنتونیک از ویژگی‌های مهم این رخساره است. C پکستون بیوکلاستی ایتراکلست‌دار، ایتراکلست‌های حاوی خردمندی‌های فیل باشندگی بالا در تصویر مشخص است (رخساره توریدیتی B4، C و E) و کستون پلانکتون با گردشگی پلک‌دار (رخساره توریدیتی B5). F و کستون بیوکلاستی ایتراکلست و پلت‌دار (رخساره توریدیتی A1).

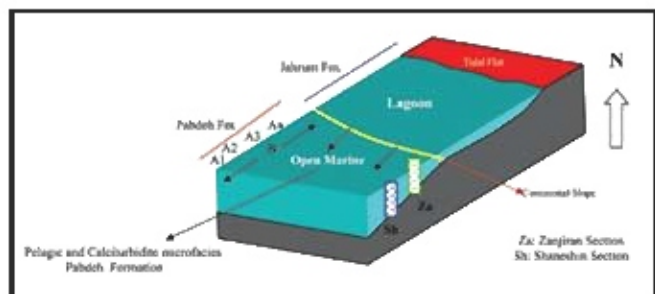
شکل ۳- رخساره‌های میکروسکوپی پلازیک (بخش ژرف دریا) سازند پاچه (A) مادستون بیوکلاستی گلوبیزیرین دار (رخساره A2) (B) گلستگ، این رخساره در یک محیط کم انرژی مناطق ژرف دریا در تابوت با وکستون و پکستون بیوکلاستی گلوبیزیرین و گلوبوروتلایدار دیده می‌شود (رخساره A1)، (C) وکستون بیوکلاستی گلوبیزیرین و گلوبوروتلایدار، میکروفیل‌های پلانکتونیک به همراه خردمندی‌های فیل پلانکتون در تصویر مشخص است (رخساره A3). و D، E پکستون بیوکلاستی گلوبیزیرین دار حاوی گلوکونیت، بالغ بر ۵۰ درصد این رخساره میکروفیل پلانکتون گلوبیزیرین است. در نمونه‌های مشابه بین ۵ تا ۲۵ درصد کانی دریایی گلوکونیت از نوع جانشینی درون حجرات روزن‌داران (فلش قرمز) جده می‌شود (رخساره A4).



شکل ۵- رخساره‌های میکروسکوپی سازند پاچه (آهک‌های دوباره نهشته شده و رخساره‌های پلازیک) (A) گریستون بیوکلاستی جلبک قرمز و میلیولید (رخساره توریدیتی 3). (B) پکستون بیوکلاستی گلوبیزیرین دار (رخساره A4) (C) گلستگ با آثاری از ایکتوفاسیس‌ها (فلش قرمز). (D) وکستون بیوکلاستی گلوبیزیرین دار حاوی جهت‌یافتنی به همراه لامیناسیون ظرفی مورب (فلش زرد). آلوکمک‌ها تا حدی جهت‌یافتنی را نشان می‌دهند (رخساره پلازیک A2).



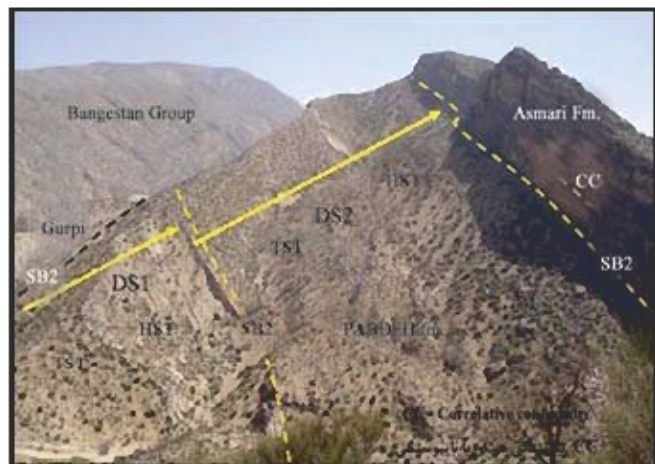
شکل ۶ - ب) در محل بالا مرز پیوسته هم‌لرزین سازنده‌ای پایه و آسماری در یعنی زرف حوضه با غایوسنگی فرمایشین سازنده‌ای جهرم و آسماری در یعنی کم ترالای سکویی کربناتی نشان داده شده است.



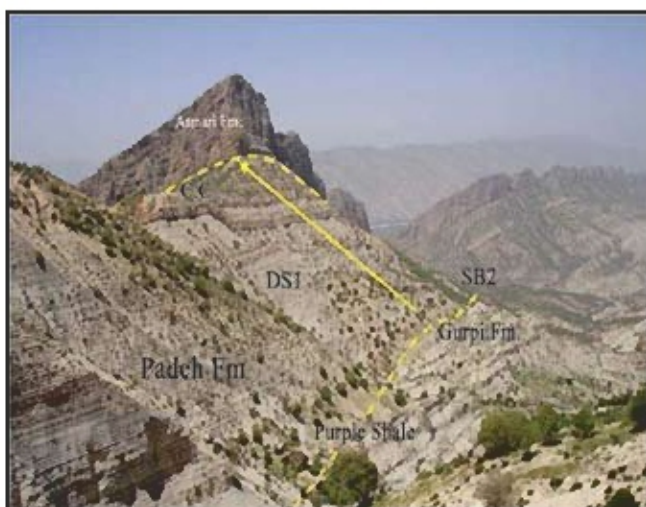
شکل ۶ - ب) محل رسوی پیشنهادی برای سازند پایه، گروه و خصائص‌های پلاژیک (A) و آسمکه‌های درباره نهضت شده (B) سازند پایه در یعنی زرف حوضه در مجاورت پلاژیم کربناتی جهرم نهضت داشته‌اند. آسمکه‌های درباره نهضت شده سازند پایه در زمان بالا بودن سطح آب دریا هنگام که از عرض کوپلات بالا بوده است تلقیل شده‌اند (Highstand Shelling).



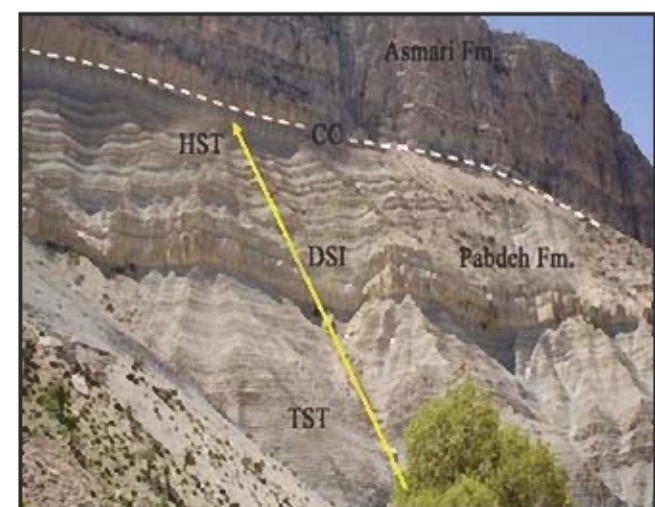
شکل ۷- مسنه و خصائص‌های TST سکانس رسوی سازند پایه به تابوت آسمکه‌های پلاژیک و تازگی لایه با هیول پلاژیک توجه شود پوش زنجیران (جید به سمت خاور).



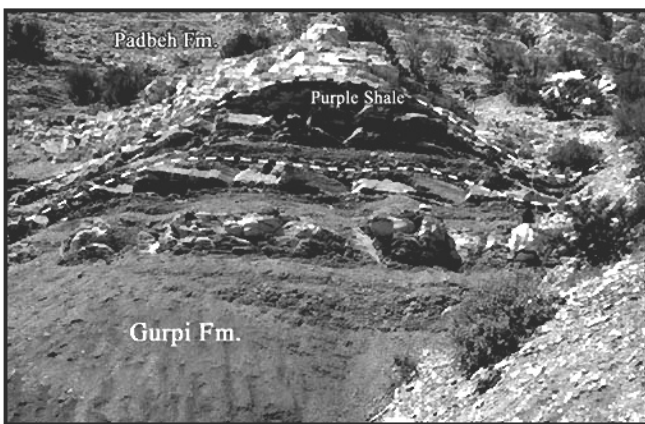
شکل ۷- سکانس رسوی اول و درم سازند پایه، پوش زنجیران دید به سمت خاور.



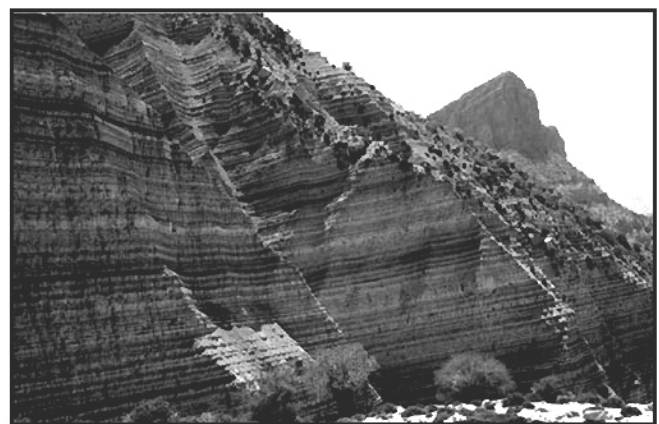
شکل ۸- سکانس رسوی سازند پایه و مرزهای آن با سازند گورپی و آسماری، (پوش شاهنشین جید به سمت چوب، CC= correlative conformity).



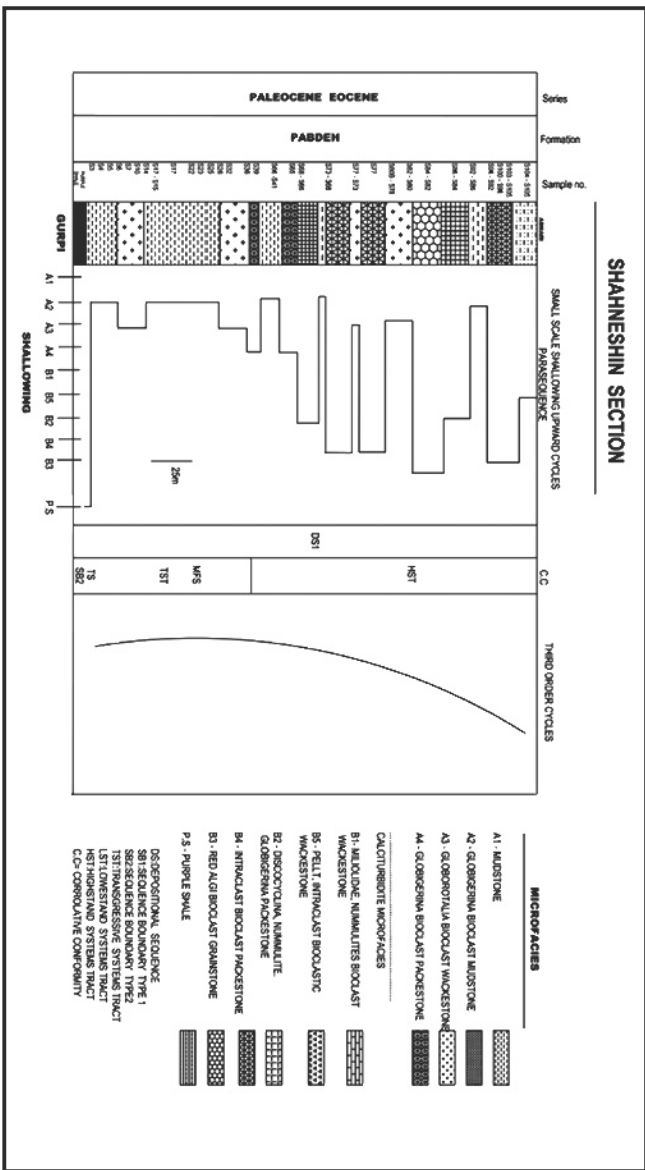
شکل ۹- سکانس رسوی سازند پایه و مرز بالایی از نوع پیوستگی هم‌لرز، (پوش شاهنشین دید به سمت چوب، CC= correlative conformity).



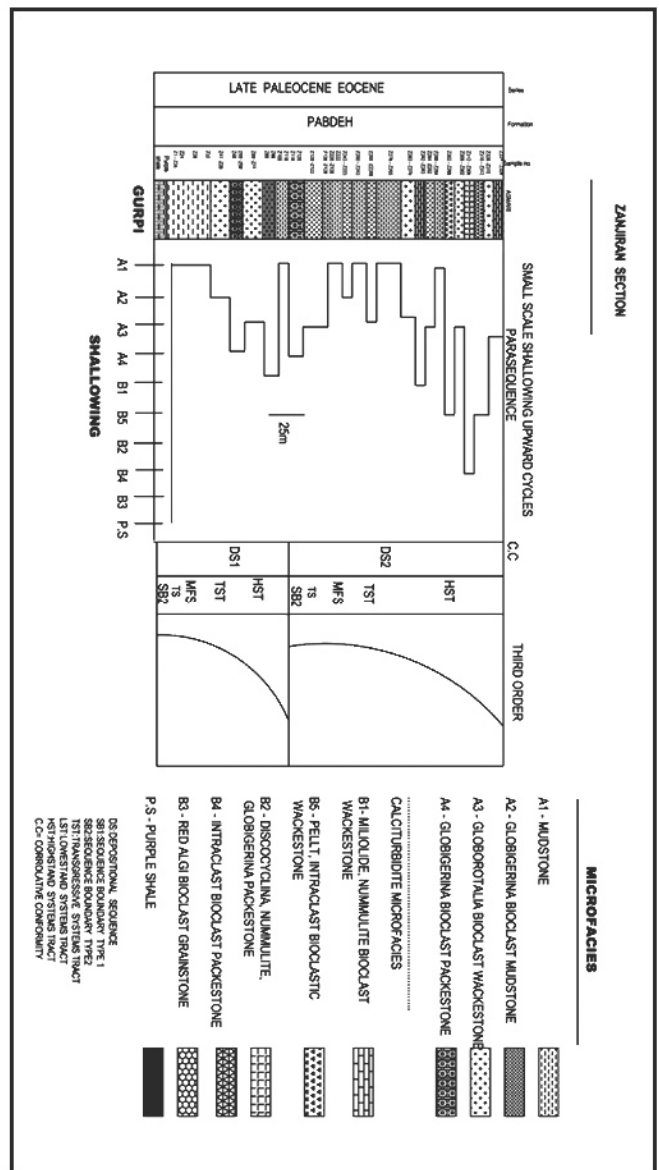
شکل ۱۲- بخش قرین شیل از خواری جدا کننده سازند گونه ای از پابده به عنوان مرز قرین سکانس رسوبی سازند پابده و از نوع دوم (SB2) در نظر گرفته شده است (شیواز - دشت اوزن، کوه شاهنشین خید به سمت جنوب باختری).



شکل ۱۱- شیل (گلستنگ) با لامیناسیون ظریف به رنگ های زرد کم رنگ، آبی و خاکستری در دسته رخصاره TST سکانس رسوبی سازند پابده، دشت اوزن کوه شاهنشین (دید به سمت جنوب باختری).



شکل ۱۳- ستون ریز رخصاره و چشمگاری سکانسی سازند پابده - پرش زنجیران



شکل ۱۴- ستون ریز رخصاره و چشمگاری سکانسی سازند پابده - پرش زنجیران

کتابنگاری

- ласمی، ی. و کاووسی، م.، ۱۳۸۴- چینه نگاری سکانسی سازند سروک در جنوب خاور لرستان و شمال زون ایذه و کاربرد آن در اکتشاف هیدرولکربور، نهمین همایش انجمن زمین شناسی ایران، ص ۵۹۸ - ۵۹۵
- لasmی، ی. و کاووسی، م.ع.، ۱۳۸۲- آهک های دوباره نهشته شده سازند پا به و پتانسیل مخزنی آنها. مجموعه مقالات بیست و دومین گردهمایی علوم زمین.
- لasmی، ی. و مصدق، ح.، ۱۳۷۸- میکروفاسیس ها و محیط های رسوبی سازند مبارک در البرز مرکزی و معروفی پشته های گلی (waulsortian) در محیط رسوبی رمپ عمیق فشرده، مقالات سومین همایش انجمن زمین شناسی ایران، ص ۵۴۸ - ۵۴۶
- لasmی، ی.، ۱۳۷۹- رخساره ها، محیط رسوبی و چینه نگاری سکانسی نهشته سنگهای پر کامبرین بالایی و پالوزوئیک ایران. سازمان زمین شناسی کشور، ۱۸۰ صفحه.
- مطیعی، م.، ۱۳۷۲- چینه شناسی زاگرس، سازمان زمین شناسی کشور، طرح تدوین کتاب شماره ۱، ۵۳۶ صفحه.
- میرزایی، ر.، ۱۳۸۰- چینه سنگی و رخساره های میکروسکوپی سازند های جهرم و آسماری در ناحیه شیراز و تعیین مرز بین این دو سازند بر اساس شواهد چینه نگاری سکانسی
- پایان نامه کارشناسی ارشد، دانشگاه فردوسی مشهد، ۱۰۹ ص.

References

- Alavi,M.,2004-Regional Stratigraphy of the Zagros Fold Thrust belt of Iran and its Progradation and Evolution,American Journal of Science, Vol. 304, p. 1-20.
- Askari, Z. & Lasemi, Y., 1997- Highstand shedding of a carbonate platform : evidence from the Middle - Upper Jurassic Chaman Bid formation (Lower Zuni A Sequence) of the Kopet Dagh Basin, northeast Iran . CSPG - SEPM Joint Convention, Calgary Canada , Abstr., p. 28.
- Bernaus, J. M., Vanneau, A., Caus, E., 2002 - Carbonate platform sequence stratigraphy in a rapidly subsiding area : the late Barremian – Early Aptian of the Organya Basin , Spanish Pyrenees , Sed Geo ., 159 , pp . 177 – 201.
- Boardman, M. R. & Neuman, A. C., 1984 - Source of - pri platform Carbonate : North west providence , channel , Bahamas . J . Sedimentary petrology, vol 54: 1110 – 1123
- Carozzi , A. V., 1989 - Carbonate Rocks Depositional Model . Prentice Hall , New , Jersey , 604 p.
- Dunham, R. J., 1962- Classification of carbonate rocks according to depositional texture: in W. E. Ham, ed., Classification of Carbonate Rocks: AAPG Memoir 1, p. 108-121.
- Eberli, G. P., 1991- Growth and demise of isolated carbonate platforms : Bahamian controversies . In : D . W . Muller , J.A . Mackenzi and H . Weissert (Editors) Controversies in Modern Geology : Evolution of Geological Theories in Sedimentology, Earth History and Tectonics. Academic Press , New York , pp . 231- 248
- Emery, D. & Myers, K., 1996- Sequence Stratigraphy: Oxford. Blackwell Science, 297 p.
- Flügel, E., 2004- Microfacies Analysis of Limestone: New York, Springer – Verlag.
- Lasemi, Y. & Carozzi, A.V., 1981- Carbonate microfacies and depositional environments of the Kinkaid Formation (Upper Mississippian) of the Illinois Basin , U . S . A VIII congreso Geologico Argentino . Sanluis (20-26 Setiembre , 1981) Acta SII , p . pp. 358 – 384.
- Lasemi, Y., 1995- Platform carbonates of the Upper Jurassic Mozduran Formation in the Kopet Dagh Basin ; NE Iran , Facies , Paleoenvironments and sequences , Sedimentary geology, 99 , pp . 151 – 164.
- Mahboobi, A., Moussavi-Harami, R., Lasemi, Y. & Brener, R. L., 2001- Sequence Stratigraphy and Sea level history of the upper paleocene strata in the Kopet-Dagh basin, northeastern Iran. AAPG Bulletin, V. 85, No. 5. p 839-859.
- Miall , A. D., 2000- Principles of Sedimentary Basin Analysis : Springer – Verlag , Berlin , 616 p .
- Mohseni, H. & Al-Asam, I. S., 2004 - Tempestite deposits on a storm-influenced carbonate ramp: an example from the Pabdeh Formation (paleogene) Zagros basin , SW Iran. Journal of petroleum geology Volume 27 Issue 2 April page 163-178.
- Nadafji, M., Mahboobi, A., Moosavi Harami, R. & Mirzaee Mahmoodabadi, R., 2004 - Depositional history and Sequence Stratigraphy of outcrops tertiary carbonates in the Jahrum and Asmari Formations, Shiraz (SW Iran). Journal of Petroleum Geology , Vol.27(2) April 2004, pp 179-190
- Purser, B. H., 1973- The Persian Gulf Holocene carbonate sedimentation and diagenesis in a shallow epicontinental sea, Springer- Verlag Berlin – Heidelberg, New York, 471P.
- Schalger, W., Reijmer, J. J. G. & Droxler, A., 1994 - Highstand shedding of carbonate platforms. Sedimentary Research, Vol. B64, PP. 270 – 281.
- Sepehr, M. & Cosgrove, J.W., 2004 - Structural Framework of the Zagros Fold thrust belt Iran. Marine and Petroleum Geology., Vol. 21, pp. 829-843.
- Tucker, M. E. & Wright, V. P., 1990- Carbonate Sedimentology, Blackwell Scientific Publication, Oxford 482 p.
- Vail, P. R., Audemard, F., Bowman, S. A., Eisner, D. N. & Perez Cruz, C., 1988- The Stratigraphic Signatures of tectonics, eustasy and sedimentology – an Overview, in G. Einsele, W. Ricken, and A. Seilacher, eds., cycles and events in stratigraphy: Berlin, Springer – Verlag, p. 617-59.
- Van Buchem, F. S. P., Pittet, B., Vtner, H., Geotsch , J., Mansouri, A. I., Billing , I. M., Droste, H. H. F., Oterdoom, W. H., Van Steenwinkel , M., 2002 - High - resolution sequence stratigraphic architecture of Barremian / Aptian carbonate systems in northern Oman and the United Arab Emirates (Kharaih and Shuaibah Formation). GeoArabia, V . 7 , P . 461 – 500
- Van Wagoner, J. C., Posamentier, H. W., Mitchem, R. M., Vail, P. R., Sarg, J. F., Lutit, T. S. & Hardenbol, J., 1988- An overview of the fundamentals of sequence stratigraphy and key definitions, inc.k. wilgus, B. Haas, C. G. St. C. Kendall, H. W. Posamentier, C. A. R. SS, and J. C. Van wagoner, eds., Sea Level Changes: and integrated approach: SEPM Special Publication 42.
- Wilber, R. J., Milliman , J. D. & Halley, R. B., 1990- Accumulation of bank – top sediment on the western slope of Great Bahama Bank : rapid progradation of a carbonate mega – bank . Geology , 18 : pp.970 -974.
- Wilson, J. L., 1975- Carbonate Facies in Geological History: New York, Springer – Verlag. 471p.

Seismicity of Tehran City Region and its Vicinity Based on Tehran City Seismic Network (TCSN) Data

F. Yamini-Fard^{1*}, A. S-Moradi² M. Hosseini³, R. Norouzi⁴

¹ International Institute of Earthquake Engineering and Seismology, Tehran, Iran.

² Institute of Geophysics ,University of Tehran, Tehran, Iran.

³ Islamic Azad University, Science and Research Campus,Tehran, Iran.

⁴ Tehran Disaster Management and Mitigation Organization, Tehran, Iran.

Received: 2008 March 02 Accepted: 2008 December 24

Abstract

From June 2004 to December 2008 low seismic activity was recorded near North-Tehran, Taleghan and Kahrizak faults and inside of Tehran city. In contrast, seismic activity along Moshafa, Garmsar and North-Alborz faults is considerable. Generally seismic activity decreases from 51 degrees longitude to west. Two earthquakes with 15 and 17 km depth were located in the west of Tehran city. The calculated focal mechanism for one of them is pure strike-slip. High seismic activity is observed along Moshafa fault close to Damavand, Boumehan cities and Lavasan-e-Bozorg region. Calculated focal mechanisms along this fault includes both strike-slip, and reverse mechanisms that implies transpression motion, dominantly left-lateral slip along this fault that continued to Lavasanat region in south of the eastern end of the North Tehran fault. Precise location of some events shows depth range of 4-32 km. Generally, calculated focal mechanisms in studied region include both strike-slip and reverse mechanisms and seems that in southern part, approaching Central Iran, reverse mechanisms are dominant. It implies slip partitioning in southern margin of Central Alborz.

Key words: Tehran city, Fault, Seismicity, Focal mechanism, Slip partitioning

For Persian Version see pages 133 to 138

*Corresponding author: F. Yamini - Fard; E-mail: faryam@iiees.ac.ir

Depositional Environment and Sequence Stratigraphy of the Pabdeh Formation in Shiraz area

R. Mirzaee Mahmoodabadi^{1*}, Y. Lasemi² & M. Afghah³

¹ Islamic Azad University, Science & Research Campus, Tehran, Iran.

² Tarbiat Moalem University, Tehran, Iran.

³ Islamic Azad University, Shiraz Branch, Shiraz, Iran.

Received: 2007 October 14 Accepted: 2008 December 10

Abstract

Shale Pabdeh Formation (Paleocene-Oligocene) expanded in Fars, Khozestan and Lorestan. Lower Lithostratigraphical limit with Gurpi Formation recognized by purple shale. Upper Lithostratigraphical limit with Asmari Formation is transitional. In order to study sedimentary environments and sequence stratigraphy of Pabdeh Formation two stratigraphic sections were chosen (Zanjiran and Shahneshin). Petrographic study indicated 9 pelagic and calciturbidite microfacies. These microfacies in deep marine deposited. Calciturbidite facies were formed during sea level highstand, when high rate of carbonate production result in transportation of carbonate sediment in deep sea. Sequence stratigraphy study shows that Pabdeh Formation consists of two depositional sequences. In Zanjiran section lower and upper contact of first sequence is type two and upper contact of second depositional sequence is conformity with unconformity. In Shahneshin section the lower contact is type two and upper contact is correlative conformity with unconformity.

Keywords: Pabdeh formation, Shiraz, Purple Shale, Zanjiran Section, Shahneshin Section, Depositional Sequence.

For Persian Version see pages 139 to 146

*Corresponding author: R. Mirzaee Mohmoodabadi; E-mail: rmirzaem@hotmail.com

The Study of the Crystal Size Distribution (CSD) of Garnet in the Hassan-Abaad Contact Metamorphism of Yazd

S. Zandifar^{1*}, M.V. Valizadeh¹, M. A. Barghi¹ & M. R. Foroodijahromi²

¹School of Geology, University College of Sciences, Tehran University, Tehran, Iran

²Department of Geology, Islamic Azad University, Science and Research campus, Tehran, Iran

Received: 2008 April 02 Accepted: 2008 July 01

Abstract

The crystallization history of a rock is recorded by the size and the distribution of its minerals. The porphyroblast crystal size in metamorphic rocks can give notable information about its growing medium. Considering the varieties of mineralogy in the Hassan-Abad's skarn and high frequency of garnet porphyroblasts in different metamorphic zones and special different sizes in the first metamorphic zone of the NE skarn, the crystal size distributions of this mineral is studied. With regard to this, digital photos of cutting surface were provided and analyzed by JMicrivation software. It has been expected, two different slopes can show three suspections: 1- parent rock composition effect; 2- crystal growing time; 3- fluid flow around plutonic rock. According to the presence of clintonite, vesuvianite and garnet and as many as joints in the region, the role of fluid in growing the size of garnet porphyroblast in part of the first metamorphic zone seem to be noticeable.

Keywords: Crystal size distribution, Garnet, Contact metamorphism, JMicrivation, Hassan-Abad village of Yazd.

For Persian Version see pages 147 to 152

*Corresponding author: S. Zandifar; E-mail: tec1319_sh@yahoo.com

Diagenesis and Geochemistry of the Ziyarat Formation in the Type Section, Tochal,(Alborz)

M. H. Adabi¹, M. Khatibi Mehr^{1*} A. Moallemi², A. Sadeghi¹ & M. A. Salehi³

¹ Faculty of Earth Science, Shahid Beheshti University, Tehran, Iran

² Research Institute of Petroleum Industry, Tehran, Iran

³ Ferdousi University, Mashhad, Iran

Received: 2007 July 07 Accepted: 2008 December 10

Abstract

The Ziyarat Formation is an Upper Paleocene to Middle Eocene carbonate sequences, located in North of Tochal Village (south-east of Tehran), near Emam Zadeh Abdollah. The Ziyarat Formation with the total thickness of 212.5 m conformably overlies the Fajan conglomerate and is overlain by greenish tufaceous siltstone of the Karj Formation. Petrographic studies led to the recognition of 11 microfacies. Different facies and evidences such as the absence of reefal facies, calciturbidite deposits, and widespread tidal flat deposits indicate that the Ziyarat Formation was deposited in a homoclinal carbonate ramp environment. Micritization, cementation, compaction, neomorphism, dissolution, dolomitization, fracturing and silification are the major diagenetic processes in the Ziyarat Formation, occurring in meteoric and burial diagenetic environments. Major and minor elements and oxygen and carbon isotope values indicate that Ziyarat carbonates were deposited in a shallow warm water tropical environment and original carbonate mineralogy was aragonite. Bivariate plots of Mn versus Sr/Ca and $\delta^{18}\text{O}$ illustrate that Ziyarat limestones were affected by open system diagenesis with high water/rock interaction. Early burial diagenetic temperature calculation based on heaviest oxygen isotope